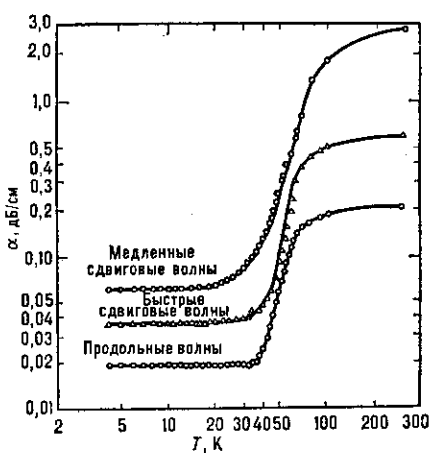


Табл. 5. — Поглощение звука в некоторых кристаллах

| Кристалл | Направление распространения | Тип волны | $T, \text{ К}$ | $f, \text{ ГГц}$ | $\alpha, \text{ дБ/м}$ |
|-----------------------|-----------------------------|--------------------------|----------------|------------------|----------------------------|
| Кварц | ось X — \rightarrow | продольная поперечная | 300 | 1 | 500 |
| | — \rightarrow | быстрая поперечная | 300 | 1 | 500 |
| | — \rightarrow | медленная | 300 | 1 | 80 |
| Сапфир | ось Z | продольная | 300 | 1 | 50 |
| | ось C | — \rightarrow | 300 | 1 | 100 |
| | — \rightarrow | — \rightarrow | 300 | 9 | $1,5 \cdot 10^8$ |
| Рутил | ось C | продольная | 300 | 1 | 150 |
| | — \rightarrow | — \rightarrow | 20 | 1 | 30 |
| Железоитриевый гранат | [100] | поперечная | 300 | 1 | 34 |
| | — \rightarrow | — \rightarrow | 300 | 9 | $2,5 \cdot 10^8$ |
| Алюмоитриевый гранат | [100] | продольная | 300 | 1 | 20 |
| | — \rightarrow | — \rightarrow | 300 | 9 | $2,5 \cdot 3,0 \cdot 10^8$ |
| Берилл | ось C | продольная | 300 | 9 | $1,5 \cdot 10^8$ |
| Ниобат лития | ось C | продольная | 300 | 1 | 30 |
| | — \rightarrow | — \rightarrow | 300 | 9,4 | $2,7 \cdot 10^8$ |

При темп-рах $T \lesssim 10 \text{ К}$ коэф. П. з. не зависит от темп-ры; в интервале темп-р 20–100 К имеется область резкого возрастания коэф. П. з., где зависимость α от T для разных кристаллографич. ориентаций изменяется от $\alpha \sim T^4$ до $\alpha \sim T^6$; при темп-рах выше 100 К коэф. П. з. вновь почти не зависит от T . Такой ход $\alpha(T)$ можно объяснить соответствующей зависимостью для c_V и κ в ф-ле (3).

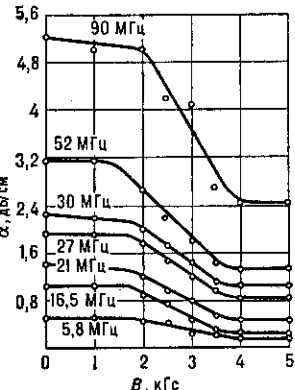
Рис. 7. Зависимость α в монокристалле Al_2O_3 от темп-ры для продольных и сдвиговых ультразвуковых волн с частотой 1 ГГц, распространяющихся вдоль оси C .

П. з. в монокристаллах зависит от направления распространения волны относительно кристаллографич. осей и от наличия примесей. Последние могут не только изменять величину коэф. П. з., но и влиять на характер его зависимости от T . Напр., в кварце наличие примесей приводит к появлению пиков на зависимости $\alpha(T)$. Коэф. П. з. в синтетич. кварце при нек-рых темп-рах может на 2–3 порядка превышать коэф. П. з. в натуральном кварце.

В металлах и полупроводниках кроме решёточного П. з., описанного выше, а также П. з., обусловленного теплопроводностью и внутр. трением, имеется ещё специфич. поглощение, связанное с взаимодействием УЗ

с электронами проводимости (см. Акустоэлектронное взаимодействие). В металлах эти эффекты становятся заметными при темп-рах ниже примерно 10 К. При переходе металла в сверхпроводящее состояние П. з. уменьшается, а при наложении магн. поля, разрушающего сверхпроводимость, поглощение возрастает. Взаимодействие акустич. волны с носителями тока в полупроводнике при наличии внеш. электрич. поля может привести к появлению отрицат. П. з., т. е. к усилению звука.

В ферромагнетиках имеется дополнит. П. з., обусловленное эффектом магнитострикции. Под действием упругой волны в них возникает локальная переменная намагниченность и связанные с ней потери энергии, в первую очередь на токи Фуко и магн. гистерезис. Эти потери, вызывающие П. з., зависят от частоты. Зависимость магнитострикционных и магн. характеристик вещества от состояния намагниченности также влияет на П. з. (рис. 8). В частности, при наложении внеш. магн. поля коэф. П. з. уменьшается, а с ростом частоты растёт. В нек-рых веществах взаимодействие акустич.

Рис. 8. Зависимость α различных частот в никеле от магнитной индукции B при распространении вдоль оси [110].

волны с системой ядерных спинов или же с электронными спинами парамагн. центров может приводить к резонансному П. з. (см. Акустический парамагнитный резонанс, Акустический ядерный магнитный резонанс).

В поликристаллах как величина коэф. П. з., так и его частотный ход зависят от соотношения между размерами кристаллита a , длиной тепловой волны $\Lambda = \sqrt{\chi/\omega}$ и длиной волны звука λ . При низких частотах ($\omega \ll \chi/a^2$, где $\chi = \kappa/c\rho c_p$ — коэф. температуропроводности) $\alpha \sim \omega^2$. На ВЧ, т. е. при $\omega \gg c/a$, снова $\alpha \sim \omega^2$, а в области частот $\chi/a^2 \ll \omega \ll c/a$ коэф. $\alpha \sim \sqrt{\omega}$. Аналогичный характер имеет поглощение поперечных волн в тонких пластинах и стержнях, где толщина пластиинки играет ту же роль, что и размеры кристаллита в поликристаллах.

При фазовых переходах 2-го рода П. з. аномально возрастает с приближением темп-ры к темп-ре перехода T_λ , что связано с ростом термодинамич. флуктуаций. С ростом интенсивности звука становится существенными нелинейные эффекты, к-рые приводят к зависимости коэф. П. з. от амплитуды (см. Нелинейная акустика).

Методы измерения П. з. разнообразны и зависят от вещества, в к-ром П. з. измеряется, от диапазона частот и величины коэф. П. з. Во всех методах измерений важно выделить истинное поглощение и отделить его от др. явлений, приводящих к уменьшению амплитуды звука, таких, как сферич. расхождение, дифракц. эффекты, рассеяние, а также потери на склейках и пр.

Лит.: Ландau L. D., Lifshits E. M., Механика сплошных сред, 2 изд., М., 1954; Alfrey T., Механические свойства высокополимеров, пер. с англ., М., 1952; Бергман Л., Ультразвук и его применение в науке и технике, пер. с нем., 2 изд., М., 1957; Hertzfeld K., Litovitz T.,